

正誤情報

このたびは森北出版株式会社発行の書籍をお買い求めいただき、誠にありがとうございました。下記の書籍につきまして誤りのある箇所がございましたので、お詫びし訂正させていただきます。

2018年3月12日 森北出版株式会社 生産マネジメント部

タイトル

システム計測工学

正誤対象

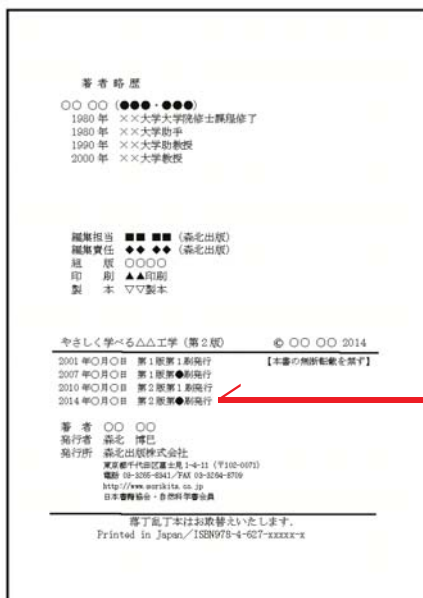
お手持ちの書籍の刷数をお調べのうえ、下の表をご覧ください。正誤表内の一番左に「対応刷数」という列がございます。該当する刷数の訂正情報をご参照下さい。

なお、刷数につきましては下記「刷数の調べ方」をご参照ください。

| お持ちの本の刷数 | |
|----------|------------------------|
| 1 | 対応刷数 1 より 3 までをご参照ください |
| 2, 3 | 対応刷数 3 をご参照ください |
| それ以降 | 現在把握している訂正情報はございません |

刷数の調べ方

本の一番後ろのページ(広告等除く)に下図のようなページがございます。ご参照いただき、お持ちの本の刷数をお調べください。



日付の最も新しい行に記載された数字がお持ちの本の刷数となります

| 対応刷数 | 頁 | 行数, 図・表・式番号 | 誤 | 正 |
|------|----|------------------|---|---|
| 1 | 9 | 表 1.6 | (見出し) 倍数 | 分数 |
| 1 | 10 | 式 (1.4) の次の行 | ..., 長さと時間の基本単位の積で示さる. | ..., 長さと時間の基本単位の積で示される. |
| 1 | 13 | 例題 1.3 解答 2~3 行目 | ...目測を含め $\Delta L_1 = 0.01\text{mm}$ であり, 物差しでは $\Delta L_2 = 0.1\text{mm}$ である. | ...目測を含め $\Delta L_1 = \pm 0.01\text{mm}$ であり, 物差しでは $\Delta L_2 = \pm 0.1\text{mm}$ である. |
| 1 | 15 | 囲み内 5 行目 | 電流の磁気作用の数学的な定式化し, ... | 電流の磁気作用を数学的に定式化し, ... |
| 1 | 24 | 最下行 | $L_1[\text{mm}]$ の一端に... | $L_1[\text{m}]$ の一端に... |
| 1 | 27 | 図 2.10 | | ν |
| 1 | 27 | 図 2.10 | | νN_x |
| 1 | 31 | 式 (2.27) | $W = \frac{L_d^3}{3(h/2)(L-x_s)} \dots$ | $W = -\frac{L_d^3}{3(h/2)(L-x_s)} \dots$ |
| 1 | 32 | 図 2.14 | 図下 $U_b = D \cos \Omega t$ | $U_b = B \cos \Omega t$ |
| 1 | 36 | 下から 7 行目 | ..., 熔融金属など 500[K] を超える... | ..., 熔融金属など 500 K を超える... |
| 1 | 48 | 表 3.1 | (見出し) 次元記号 | 誘導コイル |

| | | | | |
|---|----|-----------------|---|---|
| 1 | 49 | 6行目 | 電気回路の電圧を... | 電気回路の抵抗値を... |
| 1 | 52 | 13行目 | ...入力端子はアースに接続され, 仮想接地により 0V の接地電圧となる. | ...入力端子は接地され, 仮想接地により 0V の電圧となる. |
| 1 | 55 | 式(3.28) 2行目 | $V_{o-} - V_{p-} = R_2 I_f$ | $V_o - V_{p-} = R_2 I_f$ |
| 1 | 56 | 式 (3.34) | $V_o = -\frac{R_2}{R_1} \left(\frac{1}{j\Omega R_2 C} \right) V_i$ | $V_o = -\frac{R_2}{R_1} \left(\frac{1}{1 + j\Omega R_2 C} \right) V_i$ |
| 1 | 57 | 図 3.8 | 右のように修正 | |
| 3 | 58 | 図 3.9(b) | 右図のように (コンデンサと抵抗 1 を直列にする) | |
| 1 | 58 | 図 3.9 キャプション | (a) 積分回路 (b) 擬似積分回路 | (a) 微分回路 (b) 擬似微分回路 |
| 3 | 58 | 10行目 | ... R_1 の並列回路... | ... R_1 の直列回路... |
| 3 | 58 | 式(3.39) | $Z_i = \frac{R_1}{1 + j\Omega R_1 C}$ | $Z_i = \frac{1 + j\Omega R_1 C}{j\Omega C}$ |

| 3 | 58 | 式(3.40) | $V_o = -\frac{R_2}{R_1}(1 + j\Omega R_1 C)V_i$ [V] | $V_o = -j\Omega R_2 C \frac{1}{1 + j\Omega R_1 C} V_i$ | | | | | | | | | | | | | | | | | | |
|-------------|-----------------------|-------------|--|---|-------------|-----------------------|---|---|-----|--------|--------|-----|---|--------|-----|--------|---|--------|-----|--------|---|--------|
| 3 | 58 | 下から 8行目 | $\dots \Omega R_1 C \gg 1 \dots$ | $\dots \Omega R_1 C \ll 1 \dots$ | | | | | | | | | | | | | | | | | | |
| 3 | 58 | 式(3.41) | $V_o = -\frac{R_2}{R_1} j\Omega R_1 C V_i$ | $V_o = -j\Omega R_2 C V_i$ | | | | | | | | | | | | | | | | | | |
| 3 | 58 | 下から 5行目 | $\dots j\Omega R_1 C \ll 1 \dots$ | $\dots \Omega R_1 C \gg 1 \dots$ | | | | | | | | | | | | | | | | | | |
| 1 | 61 | 図 3.11 | (図の左上) 16 | 15 | | | | | | | | | | | | | | | | | | |
| 1 | 84 | 図 4.19 | (図の右上) 流体温度 T_w | 流体温度 T | | | | | | | | | | | | | | | | | | |
| 1 | 92 | 網がけ内 2行目 | ・ 平均値 \bar{x} は . . . | ・ 試料平均値 \bar{x} は . . . | | | | | | | | | | | | | | | | | | |
| 1 | 92 | 網がけ内 最下行 | 95.4% | 95.5% | | | | | | | | | | | | | | | | | | |
| 1 | 94 | 表 5.1 | 右のように修正 | <table border="1"> <thead> <tr> <th>$\pm x_0/u$</th> <th>$P[m - x_0, m + x_0]$</th> </tr> </thead> <tbody> <tr> <td>0</td> <td>0</td> </tr> <tr> <td>0.5</td> <td>0.3829</td> </tr> <tr> <td>0.6745</td> <td>0.5</td> </tr> <tr> <td>1</td> <td>0.6827</td> </tr> <tr> <td>1.5</td> <td>0.8664</td> </tr> <tr> <td>2</td> <td>0.9545</td> </tr> <tr> <td>2.5</td> <td>0.9876</td> </tr> <tr> <td>3</td> <td>0.9973</td> </tr> </tbody> </table> | $\pm x_0/u$ | $P[m - x_0, m + x_0]$ | 0 | 0 | 0.5 | 0.3829 | 0.6745 | 0.5 | 1 | 0.6827 | 1.5 | 0.8664 | 2 | 0.9545 | 2.5 | 0.9876 | 3 | 0.9973 |
| $\pm x_0/u$ | $P[m - x_0, m + x_0]$ | | | | | | | | | | | | | | | | | | | | | |
| 0 | 0 | | | | | | | | | | | | | | | | | | | | | |
| 0.5 | 0.3829 | | | | | | | | | | | | | | | | | | | | | |
| 0.6745 | 0.5 | | | | | | | | | | | | | | | | | | | | | |
| 1 | 0.6827 | | | | | | | | | | | | | | | | | | | | | |
| 1.5 | 0.8664 | | | | | | | | | | | | | | | | | | | | | |
| 2 | 0.9545 | | | | | | | | | | | | | | | | | | | | | |
| 2.5 | 0.9876 | | | | | | | | | | | | | | | | | | | | | |
| 3 | 0.9973 | | | | | | | | | | | | | | | | | | | | | |
| 1 | 94 | 図 5.3 | 右のように修正 | <p style="text-align: center;"> $m-3u$ $m-2u$ $m-u$ m $m+u$ $m+2u$ $m+3u$ </p> | | | | | | | | | | | | | | | | | | |

| | | | | |
|---|-----|------------------------|--|--|
| 1 | 94 | 下から 3行目 | $\pm 2u$ では 0.954 となり・・・ | $\pm 2u$ では 0.955 となり・・・ |
| 1 | 99 | 5.1 1行目 | 5.1 円柱の直径と高さを・・・ | 5.1 円柱の直径と長さを・・・ |
| 1 | 99 | 5.3 (3) 4行目 | 積分範囲を $x = -\infty$ から $x = \infty$ を・・・ | 積分範囲を $X = -\infty$ から $X = \infty$ を・・・ |
| 1 | 103 | 式(6.10) 下から 2行 目 | $= -\frac{2}{N} \sum_{n=1}^N x_n^p y_n + \frac{2}{N} \sum_{q=0}^P \left(\sum_{n=1}^N x_n^p x_n^q \right) a_q$ | $= -\frac{2}{N} \sum_{n=1}^N x_n^p y_n + \frac{2}{N} \sum_{q=0}^P \left(\sum_{n=1}^N x_n^p x_n^q \right) a_q$ |
| 1 | 123 | 9行目 | さらに、ひずみとたわみ・・・ | さらに、ひずみと $x = L_d$ におけるたわみ・・・ |
| 1 | 126 | 4行目 | ・・・, $\varepsilon = 1360 \times 10^{-6}$ を基準として・・・ | ・・・, $\varepsilon = 680 \times 10^{-6}$ を基準として・・・ |
| 1 | 135 | [19] | Web 資料：日本サーボ株式会社 | Web 資料：日本電産サーボ株式会社 |

最終更新 2018.3